

# 工作日志

lwj

2021 年 12 月 25 日

目录	2
----	---

## 目录

<b>1</b>	<b>wildDfd论文阅读</b>	<b>3</b>
1.1	wildDFD . . . . .	3
<b>2</b>	<b>用于图像分割的特征提取</b>	<b>3</b>
2.1	Bilateral Affinity Matrix . . . . .	3
2.2	DNCuts . . . . .	4
<b>3</b>	<b>基于模糊均衡的DFD技术</b>	<b>5</b>
3.1	S Transform . . . . .	5
<b>4</b>	<b>基于快速迭代最小化算法的多通道盲去模糊</b>	<b>7</b>
4.1	U-Step . . . . .	7
4.2	H-Step . . . . .	13
4.3	实验结果 . . . . .	15
<b>5</b>	<b>接下来的工作</b>	<b>15</b>

# 1 wildDfd论文阅读

## 1.1 wildDFD

wild DFD<sup>[4]</sup>的算法框架如图1，通过建立目标函数，设计相关优化算法，进行求解深度信息。其特点是两帧的模糊图像之间可以有相对运动的存在（算法中设计了光流估计环节进行补偿），算法分为两个过程，*top-downlikelihood*和*bottom-uplikelihood*，其中*top-downlikelihood*通过对图像进行分割，利用分割信息对后续的深度补全提供线索信息，建立损失函数 $E_{DFD}$ 。*bottom-uplikelihood*将图像分为多个块（patch），在每个块内，利用对均衡滤波模型<sup>[5]</sup>进行改进，建立优化模型，求解得到深度信息，在通过局部的平滑先验建立损失函数 $E_{prior}$ 。对于建立好的模型，通过求解马尔科夫随机场问题和二次型问题，对深度进行求解。

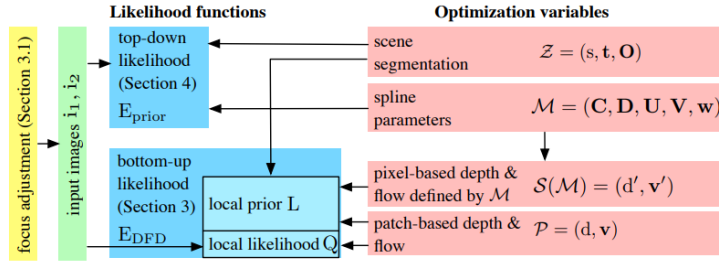


图 1: wildDfd算法框架<sup>[4]</sup>

## 2 用于图像分割的特征提取

### 2.1 Bilateral Affinity Matrix

双边仿射矩阵 $S$ 的元素 $S(p, q)$ 表征的是图像不同位置 $p$ 和 $q$ 之间的关联性。其中其中 $p$ 和 $q$ 可以理解成将图像张成向量之后的坐标。 $S$ 的拉普拉斯矩阵对应的的特征向量，可以包含一定的图像分割信息。相似性通过式(1)(2)建立<sup>[4]</sup>，其中 $l, a, b$ 是图像 $LAB$ 色域内的三通道信息，

$$S(p, q) = \begin{cases} \exp(-\Delta_{pq}) + \exp(-\Delta_{qp}) & \text{if } |p - q| < 3\sigma_s \\ 0 & \text{others} \end{cases} \quad (1)$$

$$\Delta_{pq} = \min\left(\frac{|l_p - l_q|^2}{2\sigma_{pl}^2} + \frac{|a_p - a_q|^2}{2\sigma_{pa}^2} + \frac{|b_p - b_q|^2}{2\sigma_{pb}^2}, \epsilon\right) + \frac{|p - q|^2}{2\sigma_s^2} \quad (2)$$

$S$  的拉普拉斯矩阵如下:

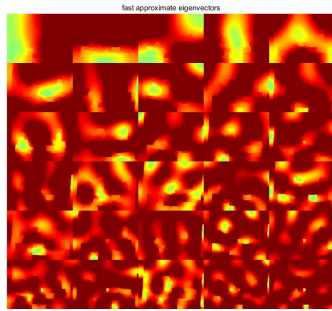
$$L = \text{Diag}(\text{sum}_{\text{percol}}(S)) - S \quad (3)$$

## 2.2 DNCuts

仿射矩阵 $S$ 的拉普拉斯矩阵 $L$ （见(3)）是一个超高维的矩阵，其特征值的计算复杂度很高，因此Arbelaez<sup>[1]</sup>提出了DNCuts算法进行优化求解。DNCuts算法基于以下的知识：

- 如果 $S$ 按行或者按列求和为1，则 $S$ 和 $S^2$ 的拉普拉斯矩阵的特征向量是相等的。
- 对 $S$ 进行降采样（隔行丢或者隔列丢）后求解特征向量近似于对 $S$ 的特征向量进行降采样。

直接对 $S$ 进行降采样效果不理想，因此对 $S^2$ 进行降采样。Arbelaez<sup>[1]</sup>给出的解释是，通过计算 $S^T S, S^2$ 的每一列都包含了其他列的信息。因此降采样不会造成太多的信息丢失。计算得到的结果如图2，可以看出拉普拉斯仿射矩阵的特征值和图像分割具有相关性。



(a) 30个特征值图像



(b) 特征值融合之后的伪彩图

图 2: DNCuts算法计算图像分割特征

### 3 基于模糊均衡的DFD技术

#### 3.1 S Transform

Spatial-domain convolution/Deconvolution Transform<sup>[3]</sup> 简称 (S Transform) 技术, 是一种计算多项式卷积和去卷积的快速算法。图像可以利用三次二维的多项式(4)进行拟合

$$f(x, y) = \sum_{m=0}^3 \sum_{n=0}^3 a_{mn} x^m y^n \quad (4)$$

记 $h(x, y)$ 为旋转对称的点扩散函数 (PSF), 相应的模糊退化模型为(5), 其中 $*$  表示卷积

$$g(x, y) = f(x, y) * h(x, y) \quad (5)$$

如式(6)所示, 对于旋转不变的PSF, 可以用参数 $\sigma_h$ 进行表征,

$$\sigma_h^2 = \iint_{-\infty}^{+\infty} (x^2 + y^2) h(x, y) dx dy \quad (6)$$

利用S变换<sup>[3]</sup>可得, 其去卷积(deconvolution)过程可以用式(7)表示, 其中 $\nabla^2$ 为拉普拉斯算子, 式(7)也经常用来进行图像边缘的增强

$$f(x, y) = g(x, y) - \frac{\sigma_h^2}{4} \nabla^2 g(x, y) \quad (7)$$

对于利用两种对焦参数拍摄的图像, 其点扩散函数的参数 $\sigma_1, \sigma_2$ 的关系如式(8),  $\alpha$ 表征两幅图像的放大率变化:

$$\sigma_1 = \alpha \sigma_2 + \beta \quad (8)$$

由(7)可以得到:

$$g_1 - g_2 = \frac{1}{4} G \nabla^2 g \quad (9)$$

其中

$$\nabla^2 = \nabla^2 g_1 = \nabla^2 g_2 \quad (10)$$

可以得到

$$G = \sigma_1^2 - \sigma_2^2 = \frac{4(g_1 - g_2)}{\nabla^2 g} \quad (11)$$

代入式(8)得到

$$\sigma_2^2(\alpha^2 - 1) + 2\alpha\beta\sigma_2 + \beta^2 = G \quad (12)$$

如果放大率不变也即 $\alpha = 1$ ,则式(12)可以写成

$$\sigma_2 = \frac{G}{2\beta} - \frac{\beta}{2} \quad (13)$$

利用式(7)进行去卷积会放大图像的高频部分,进而降低信噪比,同时(9)要求 $\nabla^2 = \nabla^2 g_1 = \nabla^2 g_2$ (对于理想的二维三次多项式模型的STM变换,成立<sup>[3]</sup>),实际的图像由于噪声的影响,式(10)很难成立。因此Xian等提出了BET方法来替代STM进行深度估计<sup>[5]</sup>。通过将两张模糊图像分别和适当的PSF(可以已知高频噪声)进行卷积,进一步的,通过BET可以减少对式(10)的依赖。对 $g_1, g_2$ 分别用各自的卷积核 $h_1, h_2$ 进行卷积。得到式(14)

$$\begin{aligned} g_1(x, y) * h_2(x, y) &= [f(x, y) * h_1(x, y)] * h_2(x, y) \\ g_2(x, y) * h_1(x, y) &= [f(x, y) * h_2(x, y)] * h_1(x, y) \end{aligned} \quad (14)$$

由卷积运算的交换性可以得到

$$g_1(x, y) * h_2(x, y) = g_2(x, y) * h_1(x, y) \quad (15)$$

利用STM前向变换计算卷积得到:

$$\begin{aligned} g_1(x, y) * h_2(x, y) &= g_1(x, y) + \frac{\sigma_2^2}{4} \nabla^2 g_1(x, y) + \frac{\sigma_2^4}{24} (\nabla^2)^2 g_1(x, y) + R(O^6) \\ g_2(x, y) * h_1(x, y) &= g_2(x, y) + \frac{\sigma_1^2}{4} \nabla^2 g_2(x, y) + \frac{\sigma_1^4}{24} (\nabla^2)^2 g_2(x, y) + R(O^6) \end{aligned} \quad (16)$$

省去高阶项 ( $R(O^4, O^6)$ ), 可得

$$g_1(x, y) + \frac{\sigma_2^2}{4} \nabla^2 g_1(x, y) = g_2(x, y) + \frac{\sigma_1^2}{4} \nabla^2 g_2(x, y) \quad (17)$$

结合式(8), 可以得到

$$a_1 \sigma_1^2 + b_1 \sigma_1 + c_1 = 0 \quad (18)$$

其中

$$\begin{aligned} a_1 &= \frac{\nabla^2 g_2}{\nabla^2 g_1} - 1 \\ b_1 &= 2\beta \\ c_1 &= - \left[ \frac{4(g_1 - g_2)}{\nabla^2 g_1} + \beta^2 \right] \end{aligned} \quad (19)$$

同样的可以得到

$$a_2 \sigma_2^2 + b_2 \sigma_2 + c_2 = 0 \quad (20)$$

其中

$$\begin{aligned} a_2 &= -\frac{\nabla^2 g_1}{\nabla^2 g_2} + 1 \\ b_2 &= 2\beta \\ c_2 &= - \left[ \frac{4(g_1 - g_2)}{\nabla^2 g_2} - \beta^2 \right] \end{aligned} \quad (21)$$

考虑到图像信噪比SNR越小，计算精度越差，交替利用利用式(18)和式(20)（如果 $\nabla^2 g_{1i}$ 则计算 $\sigma_1$ ,否则计算 $\sigma_2$ ）同时将SNR（利用拉普拉斯变换结果的大小来表征）低于阈值的结果过滤掉。即可计算得到相应的 $\sigma_1, \sigma_2$

$$\begin{cases} a_1 \sigma_1^2 + b_1 \sigma_1 + c_1 = 0, & L_1 \geq L_2 \\ \sigma_1 = \sigma_2 + \beta \\ a_2 \sigma_2^2 + b_2 \sigma_2 + c_2 = 0, & L_1 < L_2 \end{cases} \quad (22)$$

其中 $L_i$ 如式(23)表示的在一个小的窗口内（距离可以看成不变，psf不变），的拉普拉斯变换的和。

$$L_i = \sum_x \sum_y |\nabla^2 g_i(x, y)|, \quad i = 1, 2 \quad (23)$$

BET方法原理简单，形式简洁，计算简单。但是依赖已知的参数 $\beta$ ,同时对噪声污染严重，和SNR较低，图像纹理缺少的区域，其效果不理想。

## 4 基于快速迭代最小化算法的多通道盲去模糊

Filip<sup>[2]</sup>提出基于交替最小化优化策略的盲去卷积算法。该算法利用多通道的数据，将去卷积分为两个步骤：1).*U-Step*图像恢复；2).*H-Step*进行PSF估计；通过TV正则化和基于 $R_\Delta$ 的PSF正则化以及保真项最小化建立优化模型。利用交替乘子法进行迭代优化计算。

### 4.1 U-Step

利用H-Step得到的PSF进行图像恢复，其目标函数如式(24)，图像运算使用矩阵向量的形式。其中 $\|Hu - g\|^2$ 表征的是保真项， $H$ 为PSF生成的卷积矩阵。 $u$ 是清晰未退化图像张成的向量， $g$ 是多个通道模糊图像张成的向量。

$$\begin{aligned} \min_u \frac{\gamma}{2} \|Hu - g\|^2 + \Phi(D_x u, D_y u) \\ \Phi(D_x u, D_y u) = \sum_i \sqrt{|D_x u|_i^2 + |D_y u|_i^2} \end{aligned} \quad (24)$$

将式(24)使用交替方向乘子法做适当松弛之后得到

$$\min_{u, v_x, v_y} \mathcal{L}(u, v_x, v_y) = \frac{\gamma}{2} \|Hu - g\|^2 + \Phi(v_x, v_y) + \frac{\alpha}{2} \|D_x u - v_x - a_x\|^2 + \frac{\alpha}{2} \|D_y u - v_y - a_y\|^2 \quad (25)$$

其优化算法如下： 其中对于 $H$ 的构建需要考虑几点：



(a) 原始图像

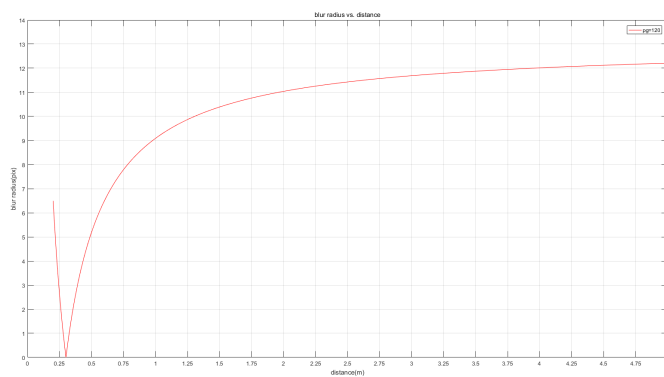
(b)  $\sigma_2$  (最亮处为7, 最暗处为0)(c)  $blurradius(\sigma = R\sqrt{2})vs distance$ 

图 3: BET效果



---

**Algorithm 1**  $\hat{u} = u - \text{step}(u^0)$ 


---

**Initialization:** Set  $v_x^0 = v_y^0 = a_x^0 = a_y^0 = 0$ ,  $j = 0$

**Repeat:**

**Caculate**  $u^{j+1} = \arg \min_u \mathcal{L}(u, v_x^j, v_y^j)$ :

$$\begin{aligned} u^{j+1} &= A^{-1} \left( H^T g + \frac{\alpha}{\gamma} [D_x^T (v_x^j + a_x^j) + D_y^T (v_y^j + a_y^j)] \right) \\ A &= H^T H + \frac{\alpha}{\gamma} (D_x^T D_x + D_y^T D_y) \end{aligned} \quad (26)$$

**Caculate**  $v_x^{j+1}, v_y^{j+1} = \arg \min_{v_x, v_y} \mathcal{L}(u^{j+1}, v_x, v_y)$ :

$$\begin{aligned} [v_x^{j+1}]_i &= [D_x u^{j+1} - a_x^j]_i [s]_i^- \max([s]_i - \frac{1}{\alpha}, 0), \\ [v_y^{j+1}]_i &= [D_y u^{j+1} - a_y^j]_i [s]_i^- \max([s]_i - \frac{1}{\alpha}, 0), \\ [s]_i &= \sqrt{[D_x u^{j+1} - a_x^j]_i^2 + [D_y u^{j+1} - a_y^j]_i^2} \end{aligned} \quad (27)$$

**Caculate**  $a_x^{j+1}, a_y^{j+1}$ :

$$\begin{aligned} a_x^{j+1} &= a_x^j - D_x u^{j+1} + v_x^{j+1} \\ a_y^{j+1} &= a_y^j - D_y u^{j+1} + v_y^{j+1} \end{aligned} \quad (28)$$

$j = j + 1$

**until**  $\|u^j - u^{j-1}\| / \|u^j\| \leq \text{tol}$ :

---

- 矩阵H的构造，如果构造成普通矩阵，则相关的运算量会巨大，通过构造循环矩阵，可以通过FFT减少运算量；
- 如果将H构造成循环矩阵，则需要考虑边界条件，反射填充和常数填充具有不同的效果；
- g和u向量需要考虑数据对齐以及边界条件

循环矩阵 (circulant matrix) 是一类特殊的toeplitz矩阵，

$$C = \begin{pmatrix} z_0 & z_{n-1} & \cdots & z_1 \\ z_1 & z_0 & \cdots & z_2 \\ \vdots & \vdots & & \vdots \\ z_{n-2} & z_{n-3} & \cdots & z_{n-1} \\ z_{n-1} & z_{n-2} & \cdots & z_0 \end{pmatrix} \triangleq C(z) \quad (29)$$

式(29)可以写成 $downshiftpermutation$ 矩阵的形式。见式(30)

$$C = \sum_{k=0}^n z_k L^k, \quad (30)$$

$$L = \begin{pmatrix} 0 & 0 & \cdots & 0 & 1 \\ 1 & 0 & \cdots & 0 & 0 \\ 0 & 1 & \ddots & 0 & 0 \\ \vdots & & \ddots & \ddots & \vdots \\ 0 & 0 & \cdots & 1 & 0 \end{pmatrix} \quad (31)$$

利用式(30)可以简化相关的矩阵运算。对于 $h_{mn}, u_{MN}$ ，采用'full'输出的卷积，其输出的大小为 $(M+m-1) \times (N+n-1)$ ，首先将 $h$ 边缘(t,b,l,r)分别填充 $(M-1)/2, (N-1)/2$ 个零。得到 $h'$ ，将 $h_s$ 从中心位置 $(M+m-1)/2, (N+n-1)/2$ 处拆开，张成向量，作为第一列。构成H。同样的现将u的上下左右边界进行填充使其大小和卷积输出大小一致，然后直接张成向量。以 $m = n = M = N = 3$ 为例进行说明。张成的H如式(34)所示。

$$h = \begin{pmatrix} h_{00} & h_{01} & h_{02} \\ h_{10} & h_{11} & h_{12} \\ h_{20} & h_{21} & h_{22} \end{pmatrix} \quad (32)$$

$$h' = \begin{pmatrix} 0 & 0 & 0 & 0 & 0 \\ 0 & h_{00} & h_{01} & h_{02} & 0 \\ 0 & h_{10} & h_{11} & h_{12} & 0 \\ 0 & h_{20} & h_{21} & h_{22} & 0 \\ 0 & 0 & 0 & 0 & 0 \end{pmatrix} \quad (33)$$

$$\mathcal{H} = \left( \begin{array}{ccccc|ccccc|ccc|ccccc} h_{11} & h_{12} & 0 & 0 & h_{20} & h_{21} & h_{22} & 0 & 0 & 0 & \cdots & h_{00} & h_{01} & h_{02} & 0 & 0 & h_{10} \\ h_{10} & h_{11} & h_{12} & 0 & 0 & h_{20} & h_{21} & h_{22} & 0 & 0 & & 0 & h_{00} & h_{01} & h_{02} & 0 & 0 & \\ 0 & h_{10} & h_{11} & h_{12} & 0 & 0 & h_{20} & h_{21} & h_{22} & 0 & & 0 & 0 & h_{00} & h_{01} & h_{02} & 0 & \\ 0 & 0 & h_{10} & h_{11} & h_{12} & 0 & 0 & h_{20} & h_{21} & h_{22} & & 0 & 0 & 0 & h_{00} & h_{01} & h_{02} & \\ h_{02} & 0 & 0 & h_{10} & h_{11} & h_{12} & 0 & 0 & h_{20} & h_{21} & h_{22} & h_{22} & 0 & 0 & 0 & 0 & h_{00} & h_{01} \\ \hline h_{01} & h_{02} & 0 & 0 & h_{10} & & & & & & & & & & & & & h_{00} \\ h_{00} & h_{01} & h_{02} & 0 & 0 & & & & & & & & & & & & & \\ 0 & & & & & & & & & & & & & & & & & \\ \vdots & & & & & & & & & & & & & & & & & \\ h_{22} & & & & & & & & & & & & & & & & & \\ h_{21} & & & & & & & & & & & & & & & & & \\ h_{20} & & & & & & & & & & & & & & & & & \\ 0 & & & & & & & & & & & & & & & & & \\ 0 & & & & & & & & & & & & & & & & & \\ h_{12} & & & & & & & & & & & & & & & & & \end{array} \right) \quad (34)$$

$$u = \begin{pmatrix} u_{00} & u_{01} & u_{02} \\ u_{10} & u_{11} & u_{12} \\ u_{20} & u_{21} & u_{22} \end{pmatrix} \quad (35)$$

$$u' = \begin{pmatrix} 0 & 0 & 0 & 0 & 0 \\ 0 & u_{00} & u_{01} & u_{02} & 0 \\ 0 & u_{10} & u_{11} & u_{12} & 0 \\ 0 & u_{20} & u_{21} & u_{22} & 0 \\ 0 & 0 & 0 & 0 & 0 \end{pmatrix} \quad (36)$$

使用循环矩阵优化的结果如图4.1其中circulant 表示用循环矩阵构造H(如式(34))进行计算，BCCB表示用块循环矩阵进行构造H(如式(38))进行计算。bound 0 表示0填充边界，bound 101 表示用镜像填充。也可以构造

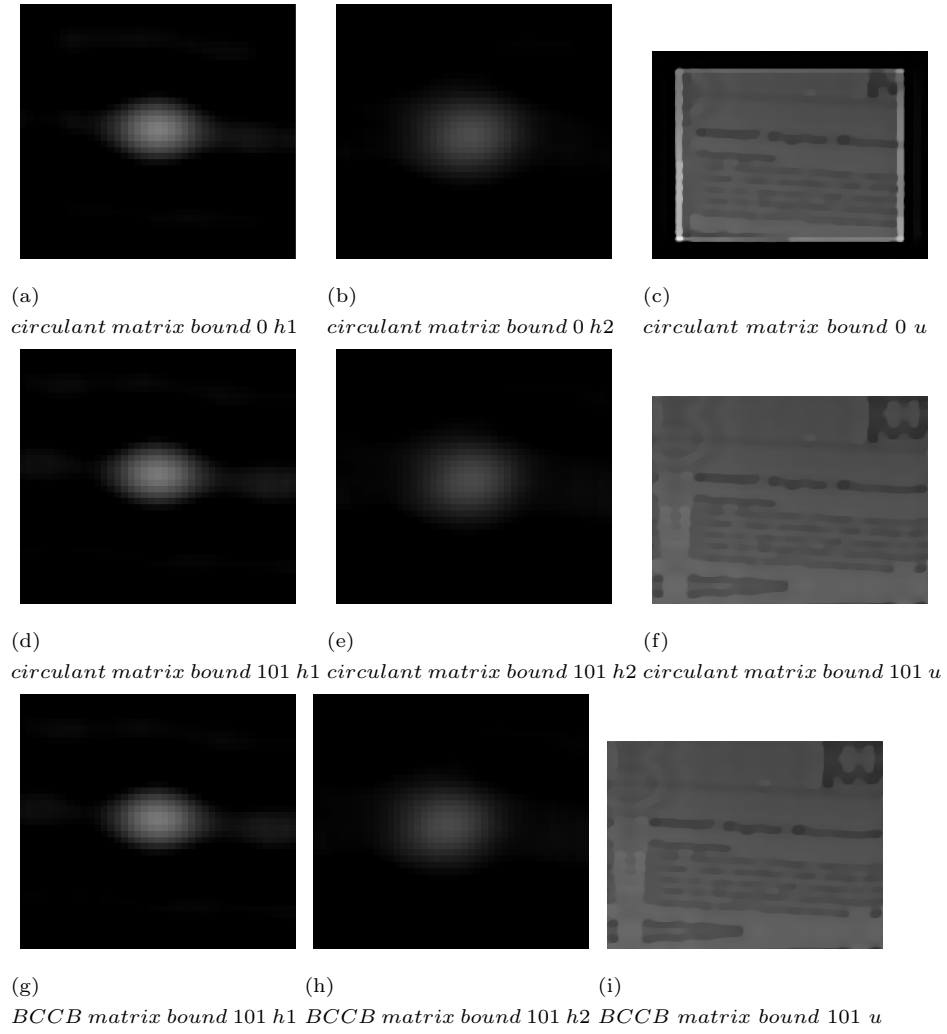


图 4: 不同矩阵构造和边界效果

块循环矩阵(BCCB,Block circulant matrix with circulant blocks)。

$$BCCB = \begin{pmatrix} C_0 & C_{n-1} & \cdots & C_1 \\ C_1 & C_0 & \cdots & C_2 \\ \vdots & \vdots & & \vdots \\ C_{n-2} & C_{n-3} & \cdots & C_{n-1} \\ C_{n-1} & C_{n-2} & \cdots & C_0 \end{pmatrix} \triangleq BCCB(Z) \quad (37)$$

其中 $C_i = C(Z(:, i))$ 。为 $Z$ 的第 $i$ 列生成的循环矩阵。利用BCCB来构造可以使用反射边界，从而减少边界的振铃现象。具体构造方法也是先将 $h$ 填充边界成 $h'$ ，然后将每行从中间拆开张成向量作为字块的生成向量 $z$ ，从中间行拆开，组成块循环矩阵，见代码。以 $m = n = M = N = 3$ 为例进行说明。张成的 $H$ 如式(38)所示。

$$\mathcal{H} = \left( \begin{array}{ccccc|ccccc|ccc|ccccc} h_{11} & h_{12} & 0 & 0 & h_{10} & h_{21} & h_{22} & 0 & 0 & h_{20} & \cdots & 0 & h_{01} & h_{02} & 0 & 0 & h_{00} \\ h_{10} & h_{11} & h_{12} & 0 & 0 & h_{20} & h_{21} & h_{22} & 0 & 0 & 0 & 0 & h_{00} & h_{01} & h_{02} & 0 & 0 \\ 0 & h_{10} & h_{11} & h_{12} & 0 & 0 & h_{20} & h_{21} & h_{22} & 0 & 0 & 0 & 0 & h_{00} & h_{01} & h_{02} & 0 \\ 0 & 0 & h_{10} & h_{11} & h_{12} & 0 & 0 & h_{20} & h_{21} & h_{22} & 0 & 0 & 0 & 0 & h_{00} & h_{01} & h_{02} \\ h_{12} & 0 & 0 & h_{10} & h_{11} & h_{22} & 0 & 0 & h_{20} & h_{21} & 0 & h_{02} & 0 & 0 & h_{00} & h_{01} \\ h_{01} & h_{02} & 0 & 0 & h_{00} & & & & & & & & & & & 0 \\ h_{00} & h_{01} & h_{02} & 0 & 0 & & & & & & & & & & & & \\ 0 & & & & & & & & & & & & & & & & \\ \vdots & & & & & & & & & & & & & & & & \\ h_{22} & & & & & & & & & & & & & & & & \\ h_{21} & & & & & & & & & & & & & & & & \\ h_{20} & & & & & & & & & & & & & & & & \\ 0 & & & & & & & & & & & & & & & & \\ 0 & & & & & & & & & & & & & & & & \\ h_{22} & & & & & & & & & & & & & & & & \end{array} \right) \quad (38)$$

## 4.2 H-Step

利用 $U - Step$ 得到的恢复好的清晰图像 $u$ ，进行模糊核函数的估算。优化目标函数如式(39)。使用的参数为

$$\gamma = 1e2; \alpha = 1e-1 * \gamma; \beta = 1e4 * \gamma; \delta = 1e3 * \gamma; \max Loop = 100; tol = 1e-1;$$

$$\begin{aligned}
\min_h (L)(h) &= \frac{\gamma}{2} \|Uh - g\|^2 + \frac{\delta}{2} h^T R_\Delta h + \Psi(h) \\
R_\Delta &= [\Delta G_2, -\Delta G_1]^T [\Delta G_2, -\Delta G_1] \\
\Psi(h) &= \sum_{k=1}^K \sum_{i=1}^{\tilde{L}} \psi(h_k(i)), \psi(t) = \begin{cases} t, & \text{if } t \geq 0 \\ +\infty, & \text{others} \end{cases}
\end{aligned} \tag{39}$$

利用ALM算法(39)可以转变为(40)

$$\min_h \mathcal{L}(h, w) = \frac{\gamma}{2} \|Uh - g\|^2 + \frac{\delta}{2} h^T R_\Delta h + \Psi(w) + \frac{\beta}{2} \|h - w - b\|^2 \tag{40}$$

按照如下的优化算法进行迭代求解 需要注意以下几点:

---

**Algorithm 2**  $\hat{h} = h - \text{step}(h^0)$

---

*Initialization:* Set  $w^0 = b^0 = 0$ ,  $j = 0$

*Repeat:*

*Caculate*  $h^{j+1} = \arg \min_u \mathcal{L}(h, w^j)$ :

$$\begin{aligned}
h^{j+1} &= B^{-1} \left( U^T g + \frac{\beta}{\gamma} [w^j + b^j] \right) \\
B &= U^T U + \frac{\delta}{\gamma} R_\Delta + \frac{\beta}{\gamma} I
\end{aligned} \tag{41}$$

*Caculate*  $w^{j+1} = \arg \min_w \mathcal{L}(h^{j+1}, w)$ :

$$[w^{j+1}]_i = \max([h^{j+1} - b^j]_i - \frac{1}{\beta}, 0), \tag{42}$$

*Caculate*  $b^{j+1}$ :

$$b^{j+1} = b^j - h^{j+1} + w^{j+1} \tag{43}$$

$j = j + 1$

*until*  $\|h^j - h^{j-1}\| / \|h^j\| \leq \text{tol}$ :

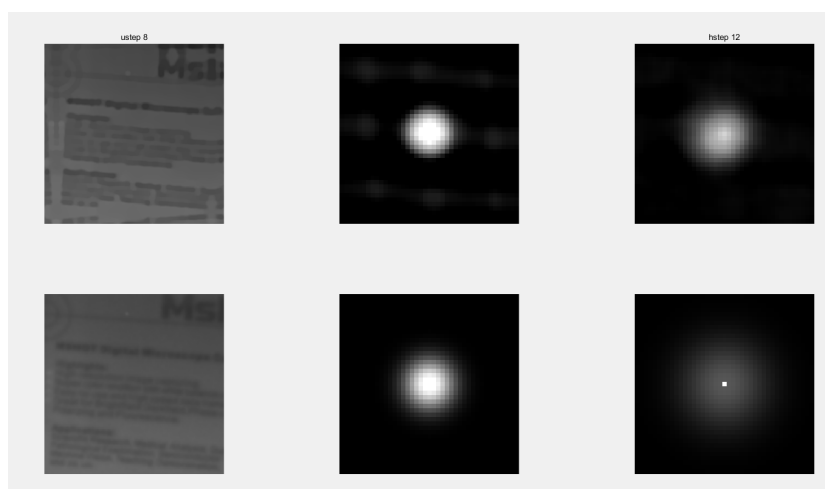
---

- $U, R_\Delta$  的构造需要考虑不同卷积输出模式的影响, 论文推荐的是valid模式
- $U, R_\Delta$  矩阵相关运算, 可以使用FFT运算加速, 代码中使用的是opencv的API `matchTemplate`(内部已经用fft做了优化)
- 进行相关的处理之前, 需要对图像进行预处理, 代码中实现的预处理包括用一个比较小的高斯核进行滤波, 进行归一化

### 4.3 实验结果

实验结果见图4.3，其中第一行的图片是迭代处理后的图像和psf，第二行是原始的图片 $(g_1 + g_2)/2$ ，以及根据实际情况大致预测的PSF。图示总计迭代了6次，参数为

$$L = 41, \text{imagesize} = 256, \gamma = 1e2, \alpha = 1e0 * \gamma, \beta = 1e4 * \gamma, \delta = 1e3 * \gamma,$$



## 5 接下来的工作

- 进一步完善MBD算法的实验,考虑使用TGV进行图像恢复
- 复现wild dfd

## 参考文献

- [1] Pablo Arbelaez, Jordi Pont-Tuset, Jon Barron, Ferran Marques, and Jitendra Malik. Multiscale combinatorial grouping. In *2014 IEEE Conference on Computer Vision and Pattern Recognition (CVPR)*, 2014.
- [2] F. Sroubek and P. Milanfar. Robust multichannel blind deconvolution

- via fast alternating minimization. *IEEE Transactions on Image Processing*, 21(4):1687–1700, 2012.
- [3] Muralidhara Subbarao. Spatial-domain convolution/deconvolution transform. *Technique Report No. 91.07. 03*, 1991.
- [4] H. Tang, S. Cohen, B. Price, S. Schiller, and K. N. Kutulakos. Depth from defocus in the wild. In *2017 IEEE Conference on Computer Vision and Pattern Recognition (CVPR)*, 2017.
- [5] T. Xian and M. Subbarao. Depth-from-defocus: blur equalization technique. *Proceedings of SPIE - The International Society for Optical Engineering*, pages 63820E–63820E–10, 2006.